

**Marcas d'Água Frágeis de Autenticação para
Imagens em Tonalidade Contínua e
Esteganografia para Imagens Binárias e Meio-Tom**

Hae Yong Kim



Universidade de São Paulo



Escola Politécnica

1

1. Introdução

Esteganografia (“information hiding” ou “steganography”): estudo de como inserir dados escondidos na imagem.

Marca d'água (MDA): dado visualmente imperceptível inserida numa imagem, normalmente para atestar propriedade ou autenticar imagem.

2

Tipos de MDA:

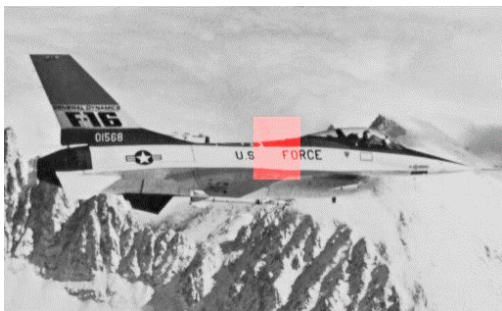
1. **Robustas:** MDA difícil de ser removida. Usada para atestar copyright.
2. **Frágeis (de autenticação):** MDA facilmente removível. Identifica o produtor da imagem e detecta alterações na imagem.
3. **Semi-frágeis:** MDA de autenticação resistente a algumas operações: compressão com perdas, ajuste de brilho/contraste, etc.

3

Tipos de MDA de autenticação:

1. **Sem chave:** Similar ao código de autenticação de mensagem (“check-sum”). Detecta alterações não-intencionais.
2. **Chave secreta:** A mesma chave é usada na inserção e na detecção.
3. **Chave pública/privada:** Usa chave privada para inserção e chave pública para verificação.

4



5

MDA de autenticação para imagens binárias não está muito desenvolvida.

Unidades deste tutorial:

1. (Seção 2) - conceitos básicos: assinatura digital e meio-tom.
2. (seção 3) - MDA de autenticação para imagens contone (tonalidade contínua, i.e., níveis de cinza e colorida).
3. (seção 4) - esteganografia para imagens binárias e halftone.

Este tutorial não tem a pretensão de esgotar o assunto.

6

2. Conceitos Preliminares

2.1 Assinatura digital (AD)

Criptografia de chave secreta ou simétrica: requer que o transmissor e o receptor da mensagem possuam a mesma chave.

Criptografia de chave pública ou cifra assimétrica: chave pública para criptografar e chave privada para decifrar.

7

Conhecendo a chave privada, é fácil calcular a chave pública. O contrário é extremamente difícil computacionalmente.

- ◇ Alice quer enviar uma mensagem secreta para Bob.
- ◇ Alice usa chave pública do Bob para criptografar a mensagem.
- ◇ Bob usa a sua chave privada para decifrar.

8

Implementando esse processo “ao contrário”, obtém-se AD:

- ◇ Alice quer demonstrar que foi ela que enviou a mensagem.
- ◇ Alice usa a sua chave privada para criptografar uma mensagem.
- ◇ Bob usa a chave pública da Alice para decifrar a mensagem.
- ◇ Somente Alice poderia ter enviado essa mensagem.

9

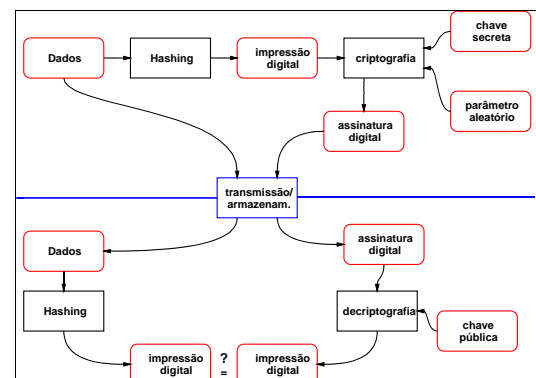
Detalhando AD:

- ◇ Alice quer “assinar eletronicamente” um documento (isto é, demonstrar que ela gerou o documento e ninguém o alterou).
- ◇ Alice calcula a “impressão digital” do documento através de uma função hashing H . (Uma função hashing calcula representantes curtos para mensagens arbitrariamente longas).
- ◇ Alice criptografa a “impressão digital” do documento usando a sua chave privada, obtendo AD.
- ◇ Alice envia AD e o documento para Bob.
- ◇ Bob decifra AD usando a chave pública da Alice.

10

- ◇ Bob calcula novamente a “impressão digital” do documento, usando a função hashing.
- ◇ Se as duas impressões digitais são iguais, a assinatura está autenticada. Isto é, o documento foi assinado pela Alice e ninguém alterou o documento.

11



12

AD:

- ◇ Determinística
- ◇ Não-determinística

Uma AD determinística pode tornar-se não-determinística acrescentando dados aleatórios na mensagem.

13

2.2 Meio-tom por difusão de erro

Meio-tom converte uma imagem em níveis de cinza G numa imagem binária B de modo que B parece G quando visto de certa distância.

Dada $G: \mathbb{Z}^2 \rightarrow [0,1]$, meio-tom deve gerar $B: \mathbb{Z}^2 \rightarrow \{0,1\}$ tal que para todos (i, j) :
 $B(i, j) \cong G(i, j)$.

14

Meio-tom por difusão de erro:

Para todos os pixels (i, j) da imagem G {
Se $(G(i, j) < 0,5) B(i, j) \leftarrow 0$; senão $B(i, j) \leftarrow 1$;
erro $\leftarrow G(i, j) - B(i, j)$;
 $G(i, j+1) \leftarrow G(i, j+1) + \text{erro} \times \alpha$;
 $G(i+1, j-1) \leftarrow G(i+1, j-1) + \text{erro} \times \beta$;
 $G(i+1, j) \leftarrow G(i+1, j) + \text{erro} \times \gamma$;
 $G(i+1, j+1) \leftarrow G(i+1, j+1) + \text{erro} \times \delta$;
}

15

$\begin{bmatrix} 1 \\ 16 \end{bmatrix} \times \begin{bmatrix} \bullet & 7 \\ 3 & 5 & 1 \end{bmatrix}$ Floyd e Steinberg	$\begin{bmatrix} \bullet & \alpha \\ \beta & \gamma & \delta \end{bmatrix}$ Floyd e Steinberg
$\begin{bmatrix} 1 \\ 48 \end{bmatrix} \times \begin{bmatrix} \bullet & 7 & 5 \\ 3 & 5 & 7 & 5 & 3 \\ 1 & 3 & 5 & 3 & 1 \end{bmatrix}$ Jarvis, Judice e Ninke	$\begin{bmatrix} 1 \\ 42 \end{bmatrix} \times \begin{bmatrix} \bullet & 8 & 4 \\ 2 & 4 & 8 & 4 & 2 \\ 1 & 2 & 4 & 2 & 1 \end{bmatrix}$ Stucki

Matrizes de pesos populares

16

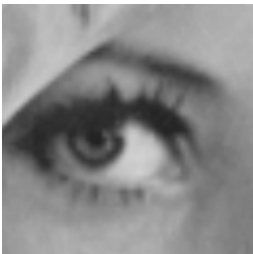


Imagem em níveis de cinza G

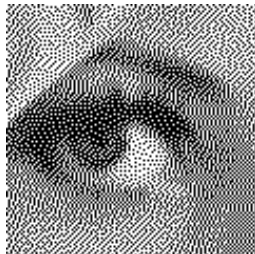


Imagem halftone B

17

3. MDA de Autenticação para Imagens Contone

3.1 Câmera digital confiável de Friedman

Câmera confiável [Friedman, 1993] inspirou os primeiros trabalhos de MDA de autenticação.

Câmera produz dois arquivos:

1. Imagem digital;
2. AD da imagem.

18

3.2 Melhoramentos da câmera de Friedman

3.2.1 Embutir AD na imagem - um arquivo

- ◇ No cabeçalho ou rodapé da imagem.
- ◇ Na própria imagem (MDA).

3.2.2 Permitir localizar a região alterada.

- ◇ Localizar a região alterada permite descobrir as intenções do falsificador.

19

3.3 MDA de Yeung-Mintzer

[Yeung, 1997]: uma das primeiras técnicas de MDA de autenticação:

- ◇ MDA inserida pixel a pixel.
- ◇ 1 bit de autenticação por pixel: 50% de chance de alteração de 1 pixel passar despercebida.
- ◇ Esquema com chave secreta.
- ◇ Demonstrou-se que é inseguro: é possível inserir MDA em qualquer imagem dispondo de uma imagem com MDA válida.

20

3.3.1 Inserção de MDA de Yeung-Mintzer

- ◇ I : imagem hospedeira em níveis de cinza;
- ◇ B : logo binário (mesmo tamanho que I);
- ◇ $k: \{0...255\} \rightarrow \{0,1\}$: look-up-table (LUT) - funciona como chave secreta;
- ◇ I' : imagem marcada.

Processamento dos pixels em ordem "raster".

21

Inserção de MDA no primeiro pixel (1, 1):

- ◇ Calcula-se $k(I(1, 1))$;
- ◇ Se $k(I(1, 1)) = B(1,1)$, nada a fazer;
- ◇ Se $k(I(1, 1)) \neq B(1,1)$, $I(1, 1)$ é alterado para um nível de cinza próximo $I'(1, 1)$ para obter $k(I'(1, 1)) = B(1, 1)$.
- ◇ O erro $I(1, 1) - I'(1, 1)$ é espalhado para os pixels vizinhos (semelhante à difusão de erro).
- ◇ Este processo se repete até processar a imagem toda.

22

Para inserir MDA numa imagem colorida I :

k_R, k_G e k_B : LUTs dos planos de cor R, G e B.

Para inserir MDA num pixel (i, j) , calcula:

$$k_R(I_R(i, j)) \otimes k_G(I_G(i, j)) \otimes k_B(I_B(i, j))$$

$\bar{I}_R(i, j)$, $\bar{I}_G(i, j)$ e $\bar{I}_B(i, j)$: valor do pixel (i, j) obtido difundindo o erro cometido ao aproximar I pela I' .

- Se a expressão = $b(i, j)$, nada a fazer.
- Se for diferente, $\bar{I}_R(i, j)$, $\bar{I}_G(i, j)$ e/ou $\bar{I}_B(i, j)$ devem ser alterados para valores próximos $I'_R(i, j)$, $I'_G(i, j)$ e $I'_B(i, j)$.

23

3.3.2 Extração de MDA de Yeung-Mintzer

I' : imagem com MDA;

k : LUT usada como chave secreta;

B : logo binário inserido;

C : Imagem binária de checagem a ser extraída.

Para I' em níveis de cinza, calcule:

$$C(i, j) \leftarrow k(I'(i, j)).$$

Para imagem I' colorida, calcule:

$$C(i, j) \leftarrow k_R(I'_R(i, j)) \otimes k_G(I'_G(i, j)) \otimes k_B(I'_B(i, j)).$$

- Se $C=B$, I' não foi alterada.
- Caso contrário, houve alteração onde C e B forem diferentes.

24

3.3.3 Ataque de falsificação

[Holliman, 2000]: counterfeiting attack.

Dispondo de algumas imagens marcadas com chave secreta k , é possível colocar MDA em qualquer imagem (sem conhecer k).

É possível descobrir a chave k a partir de algumas imagens marcadas com k .

Vamos explicar caso em níveis de cinza.

25

Mallory quer inserir MDA em J sem conhecer k . Mallory conhece B e tem acesso a uma imagem I' marcada usando k .

Mallory subdivide os pixels de I' em S_0 (pixels com valor 0 em B) e S_1 . Mallory provavelmente conhece todas as entradas de LUT k (só tem 256 entradas e uma imagem tem da ordem de 10^6 pixels).

Conhecendo k , pode marcar qualquer imagem.

Conhecendo k parcialmente, também é possível marcar qualquer imagem.

26

3.4 MDA de Wong

[Wong, 1997] propôs MDA baseada em criptografia simétrica (chave secreta).

[Wong, 1998] propôs MDA baseada em criptografia assimétrica (chave pública). Primeira MDA de chave pública.

27

- ◇ MDA de Wong: divide imagem em blocos e assina cada bloco independentemente.
- ◇ Permite localizar bloco alterado.
- ◇ MDA inserida nos bits menos significativos (LSB - least significant bit).
- ◇ Vários bits de autenticação por bloco: impossível uma alteração passar despercebida.
- ◇ Esquema com chave-secreta ou chave-pública.
- ◇ O esquema original é inseguro. Mas melhoramentos posteriores tornam-no seguro.

28

3.4.1 Inserção de MDA de Wong

1. I : imagem em níveis de cinza $N \times M$ a ser marcada. Particione I em n blocos I_t de 8×8 pixels.
2. B : logo binário (mesmo tamanho que I). Para cada I_t , existe um bloco B_t .
3. I_t^* : I_t com LSBs zerados. Calcule a impressão digital $H_t = H(M, N, I_t^*)$ (M e N para detectar cortes (cropping)).
4. $\hat{H}_t = H_t \otimes B_t$.
5. Criptografe \hat{H}_t com chave privada, gerando AD S_t do bloco t .
6. Insira S_t nos LSBs de I_t^* , obtendo I_t' .

29

3.4.2 Extração de MDA de Wong

1. I' : imagem $N \times M$ marcada. Particione I' em blocos 8×8 I_t' .
2. I_t^* : I_t' com LSBs zerados. Calcule a impressão digital $H_t = H(M, N, I_t^*)$.
3. Retire os LSBs de I_t' e decriptografe-o (usando chave pública), obtendo D_t .
4. $C_t = H_t \otimes D_t$.
5. Se $C_t = B_t$, MDA verificada. Caso contrário, I' foi alterada no bloco t .

30

3.5 Ataques à MDA de Wong

RSA de 64 bits é completamente inseguro.

Um esquema seguro de autenticação tem que detectar *qualquer* alteração.

[Wong,1998] generaliza o esquema para imagens coloridas aplicando o método nos 3 planos de cores. Não detecta permutação dos planos.

31

3.5.1 Ataques recortar-e-colar e falsificação

Se copiar um bloco, MDA de Wong não detecta (ataque recortar-e-colar).

Se repetir ataque recortar-e-colar, uma imagem inteira falsificada pode ser construída (ataque de falsificação de Holliman-Memon).

32

- Mallory quer marcar uma imagem J .
- Mallory tem um bando de dados de imagens com MDA de Wong. Imagem-logo B é conhecido publicamente.
- Mallory particiona J em blocos J_t .
- Para cada bloco J_t (onde se deve inserir B_t) Mallory procura no banco de dados o bloco D'_t parecido com J_t .
- Insere D'_t no lugar de J_t .
- Repete o processo para todos os blocos de J .

33

3.5.2 Ataques de aniversário simples

Hashing com m possíveis valores \Rightarrow se houver \sqrt{m} blocos, há mais de 50% de chance de colisão (achar 2 blocos com impressões digitais iguais).

Função de hashing de 64 bits \Rightarrow se houver 2^{32} (4 bilhões) blocos assinados, consegue substituir um bloco por outro.

BD com um milhão de imagens 640x480, particionado em blocos 8x8: 4 bilhões de blocos.

34

Para substituir bloco I_t pelo bloco forjado J_t :

- 1) Dispor de BD com \sqrt{m} assinaturas válidas.
- 2) Gerar \sqrt{m} variantes visuais de J_t (altera o segundo bit menos significativo).

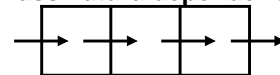
Provavelmente haverá colisão de J_t com um bloco B_t do BD.

Substitui I_t pelo J_t com AD pega de B_t .

35

3.5.3 Hash block chaining versão 1

Idéia: Fazer assinatura depender do contexto.



Uma dependência por bloco para aumentar resolução de localização.

HBC1:

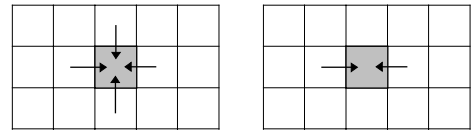
$$H_t \equiv H(M, N, I_t^*, I_{(t-1) \bmod n}^*, t)$$

36

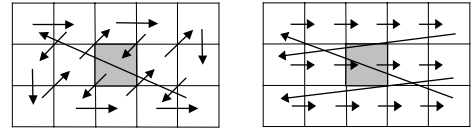
Obs1: Se B_t for alterado, B_t e $B_{(t+1) \bmod N}$ serão relatados como inválidos.

Obs2: A capacidade de localização é perdida pela inserção e/ou remoção.

Recortar-e-colar é impossível em HBC1.
Ataque de aniversário simples é impossível.



a) 4 deps. por bloco b) 2 deps. por bloco



c) 1 dep. por bloco (zig-zag) d) 1 dep. por bloco (raster)



a) Imagem original



b) Imagem-logotipo 32x32



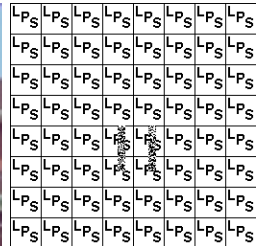
c) Imagem marcada com HBC2



d) Blocos 16x16 e 32x32



e) Ataque recortar e colar



f) Delimitação das alterações

3.5.4 Ataques de transplante

X' e \bar{X}' duas imagens marcadas com HBC1.

$$\dots \rightarrow X'_A \rightarrow X'_D \rightarrow X'_B \rightarrow X'_C \rightarrow \dots$$

$$\dots \rightarrow \bar{X}'_A \rightarrow \bar{X}'_E \rightarrow \bar{X}'_B \rightarrow \bar{X}'_C \rightarrow \dots$$

HBC1 não detecta:

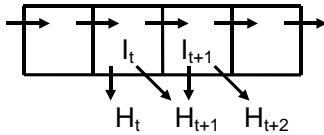
$$\dots \rightarrow X'_A \rightarrow \bar{X}'_E \rightarrow \bar{X}'_B \rightarrow X'_C \rightarrow \dots$$

$$\dots \rightarrow \bar{X}'_A \rightarrow X'_D \rightarrow X'_B \rightarrow \bar{X}'_C \rightarrow \dots$$

Documentos têm muitos blocos brancos.
Não adiante aumentar dependências.

3.5.5 Ataques de aniversário melhorado

Forjar simultaneamente I_t e I_{t+1} (substituí-los por J'_t e J'_{t+1}).



43

3.5.6 Hash block chaining versão 2

Usa assinatura digital não-determinística. Faz impressão digital depender da AD:

$$H_t \equiv H(M, N, I_t^*, I_{(t-1) \bmod n}^*, t, S_{t-1})$$

HBC2 resiste a todos os ataques.

Detecta qualquer alteração:

- Bloco modificado ou rearranjado: localiza região de alteração (2 blocos).
- Bloco apagado ou inserido: indica alteração (mas não localiza).
- Se uma grande região é copiada, indica as bordas.

44

3.5.8 MDA Wong-Memon

Necessita um identificador I , único para cada imagem I :

$$H_t \equiv H(I, M, N, I_t^*, t)$$

I deve ser armazenado de alguma forma: pouco prático.

45

4. Esteganografia para Imagens Binárias e Halftone

- Como estender MDA de autenticação para imagens binárias?
- Imagem binária/halftone não possuem LSB. Como embutir informação?
- Se embutir informação, altera a impressão digital.
- As pesquisas MDA binária/halftone estão num estágio anterior à MDA de autenticação.

Veremos alguns exemplos.

46

4.1 Imagem visível com sobreposição

Esconde uma imagem binária em duas imagens meio-tom. Se duas imagens forem sobrepostas, aparece a imagem binária escondida.

Primeiras idéias usando algoritmo de meio-tom ordered dithering patenteadas [Knox, 1998; Wang, 1998].

47

[Fu, 2001]: versão para meio-tom pela difusão de erro.

[Pei, 2003]: melhora o algoritmo de Fu e Au.

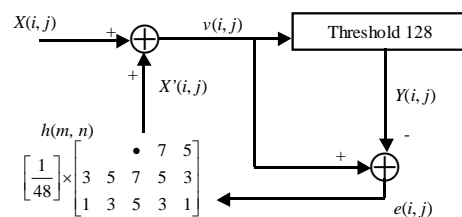


Fig. 3: Difusão de erro padrão.

48

$$\begin{cases} v(i, j) = X(i, j) + X'(i, j), \\ X'(i, j) = \sum_{m=0}^2 \sum_{n=-2}^2 e(i+m, j+n)h(m, n) \\ e(i, j) = v(i, j) - Y(i, j) + N_B, \\ Y(i, j) = \begin{cases} 0, & \text{se } v(i, j) < 128 \\ 255, & \text{se } v(i, j) \geq 128 \end{cases} \end{cases} \quad (4.1)$$

Y_1 : meio-tom de X obtida difusão de erro normal.

Y_2 : meio-tom contendo logo B .

49

$B(i, j)$ preto e $Y_1(i, j)$ branco: $Y_2(i, j)$ é calculado usando (4.2) em vez da (4.1):

$$\begin{cases} v(i, j) = X(i, j) + X'(i, j) - N_B \\ e(i, j) = v(i, j) - Y(i, j) + N_B \end{cases} \quad (4.2)$$

$B(i, j)$ preto e $Y_1(i, j)$ preto: utiliza-se (4.1).

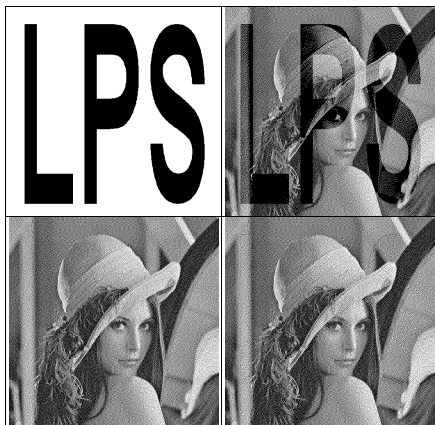
$B(i, j)$ branco e $Y_1(i, j)$ preto: utiliza-se (4.2).

$B(i, j)$ branco e $Y_1(i, j)$ branco: utiliza-se (4.2) invertendo os sinais de N_B .

O valor da N_B em (4.2) controla a qualidade de Y_2 e do B decodificado.

Se N_B aumentar, Y_2 piora e B torna-se mais nítido.

50



51

Generalizações:

1. Aumentar o número de meio-tons para 3 ou mais. Aumenta nitidez de B .
2. Y_1 e Y_2 são meio-tons de imagens em níveis de cinza diferentes. Diminui nitidez de B . Foi sugerida uma técnica para enfatizar bordas.
3. Autodecodificação de B (B escondido numa única imagem). A imagem aparece quando sobrepõe duas cópias de Y deslocadas.

52

4.2 Modificação de pixels individuais

[Fu, 2000; Fu, 2002]: DHST (data hiding by self toggling). Embute dados em meio-tom ponto disperso.

Inserção:

- Gerador de número pseudo-aleatório (com semente conhecida) gera um conjunto de posições na imagem.
- Um bit é embutido em cada posição forçando-o a ser ou preto ou branco.

53

Leitura:

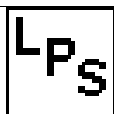
- Gerador pseudo-aleatório gera novamente o mesmo conjunto de posições na imagem.
- Basta ler os valores dos pixels nessas posições.

Se DHST for utilizado em imagem binária, aparecerá ruído sal-e-pimenta visível.

54



Imagem original

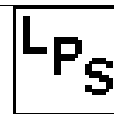


Logo a ser inserido

55



1024 bits embutida (DHST)



Logo extraído

56

Melhoramentos:

- DHPT: Data hiding by pair toggling. Mudança de um pixel acompanhada pela mudança complementar de um dos 8 vizinhos (para manter o nível de cinza médio constante).
- DHPST: Data hiding by smart pair toggling. Entre os vizinhos possíveis de serem mudados, escolhe aquele que gera padrão visual agradável.

57

4.3 Modificação de características de bloco

A imagem binária ou halftone é dividida em blocos e insere bits por bloco mudando a característica.

58

4.3.1 Número de pixels pretos por bloco

[Wu, 2000]:

- Divide imagem binária em blocos 8x8.
- Bloco com pixels pretos par → bit 0.
- Bloco com pixels pretos ímpar → bit 1.
- Os pixels têm “score” visual. Altera pixel com score mais baixo.

Pode-se escolher blocos de tamanhos diferentes, inserir mais de um bit por bloco, etc.

59

Problema:

- Algum bloco pode ser inteiramente branco, inteiramente preto, etc.

Solução:

- Fazer “shuffling” (permutação aleatória) dos pixels.

Problema:

- Não dá para usar para MDA de autenticação.

60

4.3.2 Alterar matriz de pesos da difusão de erro

[Pei,2003; Hel-Or, 2001]:

É possível descobrir a matriz de pesos usada na difusão de erro analisando Transformada de Fourier do bloco.

Associa cada matriz de pesos a um bit. Em cada bloco, usa uma matriz de pesos diferente.

61

5. Conclusão

Neste tutorial vimos:

1. Visão panorâmica das pesquisas sobre MDA e esteganografia;
2. Dois conceitos básicos: assinatura digital e meio-tom por difusão de erro;
3. Principais técnicas de MDA de autenticação para imagens contone; ataques; mecanismos de defesa;
4. Algumas técnicas para embutir dados em imagens binárias e meio-tom.

Estudamos algumas técnicas. Não temos a pretensão de esgotar o assunto.

62

Referências que não aparecem em RITA:

[Wu, 2000] M. Wu, E. Tang, and B. Liu, "Data Hiding in Digital Binary Image," *IEEE Int. Conf. on Multimedia and Expo*, 2000, New York, USA.

63